

Fotografía 1.- Coladas basálticas miocenas subhorizontales con estructura tabular de la ladera noroccidental de la Montaña Morro de Diego Armas. MIOCENO



Fotografía 10.- Edificio Montaña Colorada visto desde el suroeste. Cantera inactiva en el flanco suroeste. CUATERNARIO



Fotografía 11.- Supuesto salidero de lava y agua caliente colapsado, al pie del flanco noroccidental de montaña Colorada. CUATERNARIO



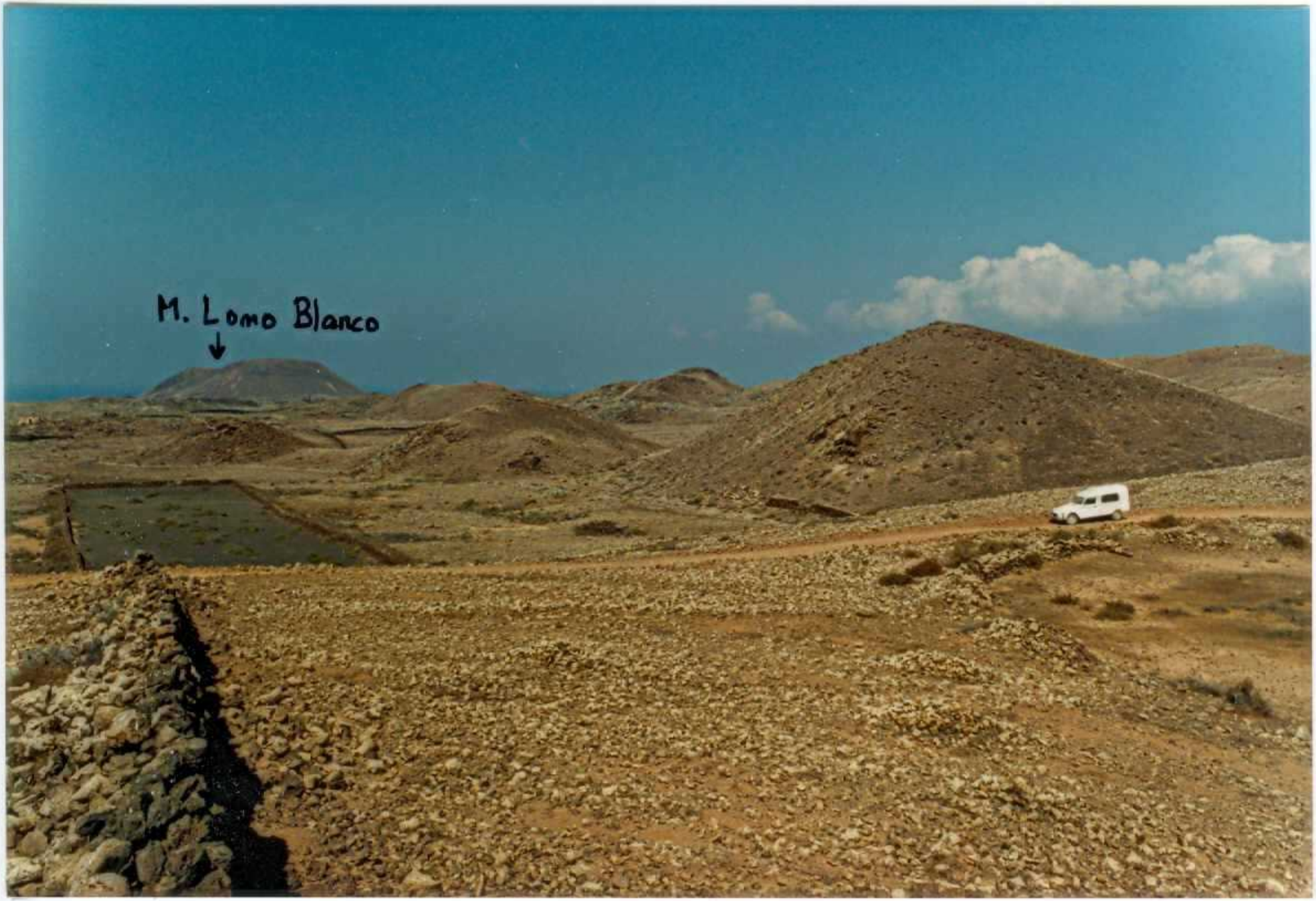
Fotografía 12.- Cráter del Edificio Calderón Hondo, donde se aprecian niveles estratificados de escorias compactadas con discordancias intraformacionales.
CUATERNARIO



Fotografía 13.- Cráter del Edificio Calderón Hondo, perteneciente a la alineación volcánica principal del Malpaís de Corralejo, visto desde el borde suroccidental. CUATERNARIO



Fotografía 14.- Cráter del Edificio Bayuyo abierto hacia el noroeste. CUATERNARIO



Fotografía 15.- Alineación de hornitos al norte del Edificio Las Calderas. Detrás La Montaña de Lomo Blanco. CUATERNARIO



Fotografía 16.- Hornito de 10 m de altura, al norte del Edificio Las Calderas.
CUATERNARIO



Fotografía 17.- Detalle de los hornitos en el interior de la Caldera Morro del Perro (o Montaña San Rafael). CUATERNARIO



Fotografía 18.- Colada basáltica del Malpaís de Corralejo, al este de Montaña Colorada.
CUATERNARIO



Fotografía 19.- Detalle de lavas "cordadas" saliendo de un pequeño lóbulo, en el Malpaís de Corralejo, al sur de Lajares. CUATERNARIO



Fotografía 2.- Coladas basálticas miocenas subhorizontales de Montaña La Mareta, con depósitos de arenas eólicas blancas adosadas a sus laderas inferiores.
MIOCENO



Fotografía 20.- Pequeño tubo volcánico en el Malpaís de Corralejo. CUATERNARIO



Fotografía 21.- Tubo volcánico de corta longitud en la zona de Las Vistas, al norte del Malpaís de Corralejo. CUATERNARIO



Fotografía 22.- Bomba volcánica de composición basáltica en la zona de Vallichuelos Altos. CUATERNARIO



Fotografía 23.- Detalle de la rasa marina actual originada sobre las coladas basálticas recientes del Malpaís de Corralejo, en el pueblo del mismo nombre. Observese la disyunción hexagonal y pentagonal desarrollada en las coladas. CUATERNARIO



Fotografía 24.- Canteras en explotación de piroclástos (picón) en la zona de Vallichuelos Altos. CUATERNARIO



Fotografía 25.- Vista general de la isla de Lobos desde el suroeste, durante la travesía desde Corralejo a la isla. CUATERNARIO



Fotografía 26.- Edificio La Caldera de Lobos, en el extremo occidental de la isla de Lobos. CUATERNARIO



Fotografía 27.- Aspecto general del interior de la isla de lobos y hornitos en primer plano. CUATERNARIO



Fotografía 28.- Saladar en el extremo septentrional de la isla de Lobos. CUATERNARIO



Fotografía 29.- Rasa marina erbanense (E) durante la bajamar, en la zona de Majanicho.
CUATERNARIO



Fotografía 3.- Coladas basálticas miocenas subhorizontales de Montaña Atalaya de Huriamen. Al fondo se observa el campo de dunas de Corralejo. MIOCENO



Fotografía 30.- Detalle de la rasa marina erbanense (± 0.5 - 1 m) en la costa norte de Fuerteventura. HOLOCENO



Fotografía 31.- Detalle de los depósitos de arenas fosilíferas pertenecientes a la rasa marina erbanense (± 0.5 - 1 m) en la costa norte de Fuerteventura.

HOLOCENO



Fotografía 32.- Detalle de los depósitos de arenas fosilíferas y conglomerados correspondientes a la rasa marina erbanense (± 0.5 - 1 m) en la costa norte de Fuerteventura. CUATERNARIO



Fotografía 33.- Detalle de la fauna de la rasa marina erbanense (± 0.5 - 1 m) en la zona de Majanicho. CUATERNARIO



Fotografía 34.- Depósitos de algas calcáreas en las playas del norte de la Hoja.
CUATERNARIO



Fotografía 35.- Depósitos de arenas y conglomerados correspondientes a la rasa marina erbanense (± 0.5 - 1 m) en Bajo Matos, en la costa oriental de la Hoja.

CUATERNARIO



Fotografía 36.- Vista general del "Jable de Corralejo" y enfrente la isla de Lobos.
Al fondo la isla de Lanzarote. CUATERNARIO



Fotografía 37.- Tránsito gradual entre la playa actual (playa Alzada), al sur de Corralejo y las dunas del "Jable de Corralejo", al fondo. CUATERNARIO



Fotografía 38.- Playa de Aljibe de la Cueva al sur de Cotillo, en la costa occidental de la Hoja. Se puede observar a la derecha la superficie de abrasión correspondiente a la rasa marina pliocena (P) (± 10-15 m) y al fondo el escarpe de coladas basálticas del puerto de Tostón-Cotillo (C).

CUATERNARIO



Fotografía 39.- Depósitos aluviales con laminaciones tendidas y cruzadas con intercalaciones de arenas eólicas pleistocenas. Observese el relleno de pequeñas depresiones entre las arenas por nuevos aportes aluviales. CUATERNARIO



Fotografía 4.- Depósitos de arenas fosilíferas de la rasa marina jandiense (J) intercalados entre coladas basálticas miocenas con diques (D) y coladas basálticas recientes del Malpaís de Corralejo (R), en la Caleta de Cotillo.
CUATERNARIO



Fotografía 5.- Explotación de arenas eólicas correspondientes a las dunas pleistocenas adosadas a los relieves miocenos de la ladera norte de Montaña de la - Costilla. Se observan diferentes niveles de deposición eólica.

CUATERNARIO



Fotografía 6.- Rizo-concreciones con moldes de nidos de antophora en las arenas eólicas pleistocenas en las cercanías de Lajares. CUATERNARIO



Fotografía 7.- Vista general de la zona septentrional de Fuerteventura y de los principales edificios de la alineación volcánica de dirección SO-NE. Al fondo las islas de Lanzarote y Lobos. CUATERNARIO



Fotografía 8.- Alineación volcánica reciente de dirección SO-NE, paralela a la principal localizada algo más al sur (al fondo). En primer término y de izquierda a derecha Montaña de la Mancha, Montaña de la Raya y Montaña Lomo Blanco. CUATERNARIO



Fotografía 9.- Rasa marina actual tallada sobre las coladas recientes del Malpaís de Corralejo, en la zona de Majanicho. Detrás, de izquierda a derecha, Montaña de La Mancha, Montaña de La Raya, Montaña Lomo Blanco y Bayuyo.
CUATERNARIO